

РОССИЙСКАЯ АКАДЕМИЯ НАУК  
СИБИРСКОЕ ОТДЕЛЕНИЕ

ЖУРНАЛ  
СТРУКТУРНОЙ  
ХИМИИ  
НАУЧНЫЙ ЖУРНАЛ

Основан в 1960 г.

Выходит 8 раз в год

ТОМ 59

Февраль-март

№ 2, 2018

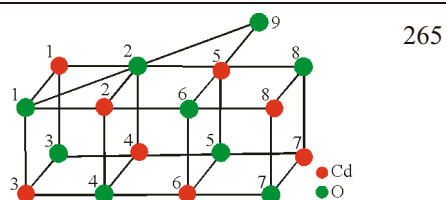
СОДЕРЖАНИЕ

ТЕОРИЯ СТРОЕНИЯ МОЛЕКУЛ И ХИМИЧЕСКОЙ СВЯЗИ

Жуков В.П., Шеин И.Р.

**Структура и термодинамические характеристики примесных центров в оксиде кадмия, допированном литием: первопринципный PAW-подход**

**Ключевые слова:** оксид кадмия, электронная структура, примесные центры, проводимость

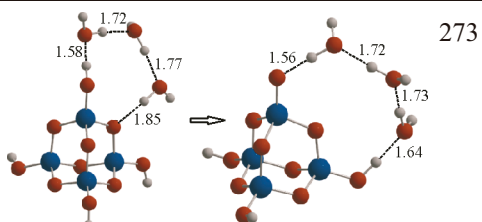


Онижук Н.О., Пантелеимонов А.В., Холин Ю.В.

Иванов В.В.

**Квантово-химические оценки констант диссоциации силанольных групп кремниевых кислот**

**Ключевые слова:** кремнеземы,  $pK_a$ , квантовая химия, теория функционала плотности (DFT), поляризационно-континуальная модель растворителя (PCM)



Грибов Л.А.

**Вариационный метод решения общей задачи о колебательно-вращательных состояниях молекул**

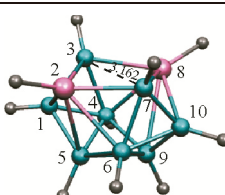
**Ключевые слова:** спектры молекул, колебательно-вращательные состояния, энергетическая матрица, вариационное решение

$$\hat{T}_{p \text{ vib,rot}} \rightarrow \begin{bmatrix} T_{\text{vib}} & T_{\text{vib,rot}} \\ T_{\text{vib,rot}} & T_{\text{rot}} \end{bmatrix}$$

Ababsa S., Zouchoune B.

**Electronic structure and relative stabilities of 10- and 12-vertex. Closo- and nido-heteroborane clusters of Ga, Ge and As elements**

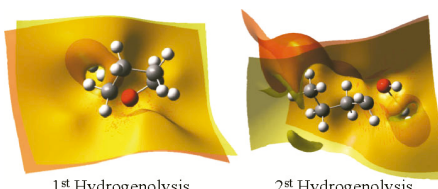
**Keywords:** boron-boron interactions, counting rules, atomic charges, heteroatom substitution



Koudjina S., Atohoun Y.G.S., Hougue M.T.A.K., Kuevi U.A., Kpotin G.A., Kanhounon W.G., Mensah J.B.

**Modeling of oxolane hydrodeoxygenation in the presence of tungsten disulfide**

**Keywords:** oxolane, tungsten disulfide, hydrogenolysis, modeling, catalytic hydrotreating, DFT/B3LYP, 6-31G(d), LanL2DZ



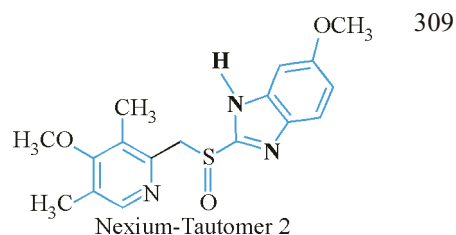
288

302

Sargolzaei M., Afshar M., Nikoofard H.

**Solvent effect on equilibrium and rate constant of the tautomeric reaction in Nexium, Skelaxin, Aldara and Efavirenz drugs: A DFT study**

**Keywords:** tautomer, solvent, density functional theory, RMSD, eyring



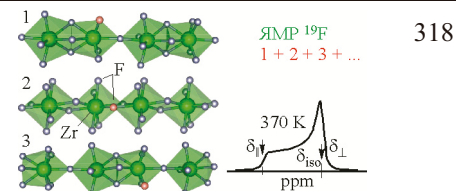
309

**ИССЛЕДОВАНИЕ СТРОЕНИЯ МОЛЕКУЛ ФИЗИЧЕСКИМИ МЕТОДАМИ**

Слободюк А.Б., Диденко Н.А., Кавун В.Я.

**Фазовые переходы и ионная подвижность в твердых растворах в системе  $(\text{NH}_4)_2\text{ZrF}_6-\text{InF}_3$**

**Ключевые слова:** синтез, гексафторидоцирконат аммония, трифтотрид индия, твердые растворы, ионная подвижность, спектры ЯМР

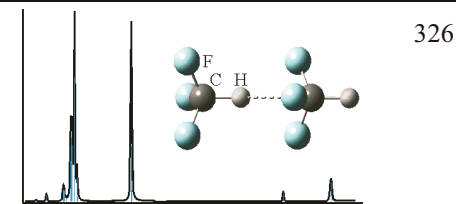


318

Гринвальд И.И., Калагаев И.Ю., Петухов А.Н., Грушевская А.И., Капустин Р.В., Воротынцев И.В.

**Ассоциация галоформов в конденсированной и газовой фазе. ИК спектроскопия и неэмпирические расчеты**

**Ключевые слова:** водородная связь, ИК спектроскопия, неэмпирические расчеты (DFT), галоформы

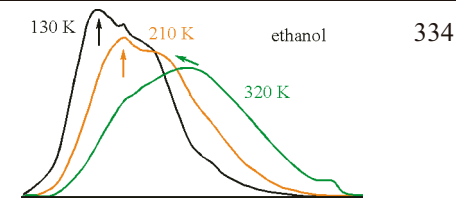


326

Зыкова В.А., Суровцев Н.В.

**Структурные свойства стеклющихся этанола и глицерина по спектрам колебаний О—Н**

**Ключевые слова:** колебания О—Н, структура стеклющихся жидкостей, локальные конфигурации, комбинационное рассеяние света

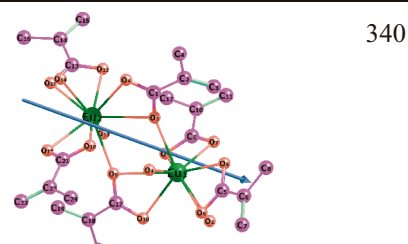


334

Курбатов И.А., Харченко В.И., Мирочник А.Г., Петроценкова Н.В., Жихарева П.А., Вовна В.И.

**Колебательная структура метакрилатов европия(III) и лантана(III): исследование методами DFT и ИК спектроскопии**

**Ключевые слова:** метакрилат европия(III), метакрилат лантана(III), биядерный комплекс, теория функционала плотности, квантовая химия, ИК спектры

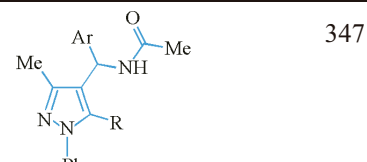


340

Vafaee A., Davoodnia A., Bozorgmehr M.R., Pordel M.

**Characterization and molecular docking study of new 4-acetamidoalkyl pyrazoles as B-raf/COX-2 inhibitors**

**Keywords:** synthesis, 4-acetamidoalkyl pyrazoles, molecular docking, B-raf/COX-2 inhibitors

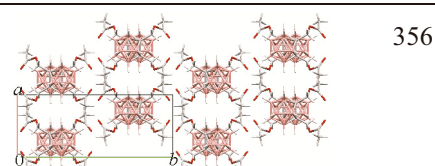


347

Suleimen Ye.M., Van Hecke K., Ibatayev Zh.A., Akatan K.

**Crystal structure of 1,2-bis(acetoxymethyl)-o-carborane**

**Keywords:** 1,2-bis(acetoxymethyl)-o-carborane, X-ray crystallographic analysis, NMR spectroscopy



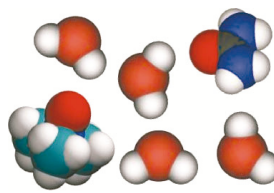
356

## СТРУКТУРА ЖИДКОСТЕЙ И РАСТВОРОВ

Кадцын Е.Д., Аникеенко А.В., Медведев Н.Н.

### Строение водных растворов триметиламиноксида, мочевины и их смеси

**Ключевые слова:** молекулярно-динамическое моделирование, водные растворы, триметиламиноксид, мочевина, осмолиты-протекторы, денатуранты

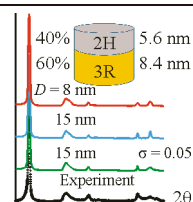


359

Громилов С.А., Nikolaev P.E., Черепанова С.В.

### Образование «сжатого» и смешаннослоистого графита при нагревании импактных алмазов

**Ключевые слова:** импактный алмаз, алмаз, лонсдейлит, графит, сжатый графит, смешаннослоистый графит, турбостратное разупорядочение, моделирование

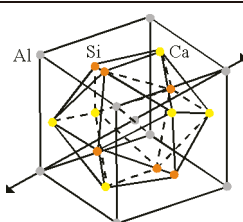


368

Борисов С.В., Магарилл С.А., Первухина Н.В.

### Кристаллографический анализ структурного типа граната: симметрия в анатомии структуры

**Ключевые слова:** кристаллографическая стабильность, кристаллографический анализ, катионные подрешетки, когерентная сборка, структурный тип граната, структура  $\beta$ -W, менецезит

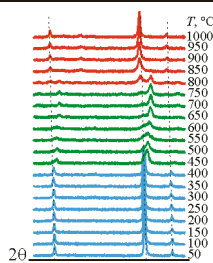


378

Венедиктова О.С., Булавченко О.А., Цырульников П.Г., Афонасенко Т.Н., Винокуров З.С., Цыбуля С.В.

### Высокотемпературные дифракционные исследования процесса расслоения марганец-галлиевой шпинели состава $Mn_{1.5}Ga_{1.5}O_4$

**Ключевые слова:** высокотемпературная рентгенография, фазовые превращения, марганецодержащие двойные оксиды, марганец-галлиевая шпинель, алюмомарганцевая шпинель

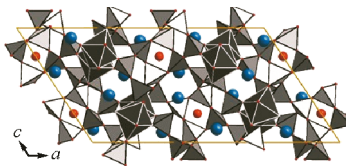


384

Канева Е.В., Суворова Л.Ф., Таусон В.Л.

### Кристаллические структуры новых синтезированных KДy- и KТb-алюмосиликатов

**Ключевые слова:** гидротермальный синтез, KREE-алюмосиликаты, кристаллическая структура

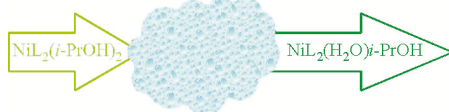


391

Романенко Г.В., Фурсова Е.Ю., Летягин Г.А., Овчаренко В.И.

### Строение разнолигандного комплекса Ni(II) с 3-имидализиновым нитроксилом, изо-пропанолом и водой

**Ключевые слова:** никель, 3-имидализиновый нитроксил, пропанол, разнолигандный комплекс

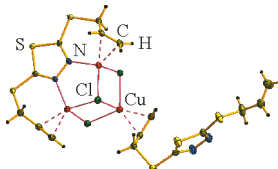


398

Слывка Ю.И., Ардан Б.Р., Мыськів М.Г.

### $\pi$ -Комплексы хлорида меди(I) с 2,5-бис(аллилтио)-1,3,4-тиадиазолом: синтез и особенности строения

**Ключевые слова:** хлорид меди(I),  $\pi$ -комплекс, 1,3,4-тиадиазол, аллильное производное, кристаллическая структура



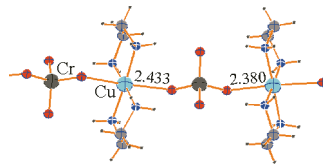
402

Сухих А.С., Храненко С.П., Громилов С.А.

**Структура координационного полимера  $[\text{Cu}(\text{En})_2\text{CrO}_4]_n$**

**Ключевые слова:** бис-этилендиамин меди, хромат-анион, координационный полиэдр, кристаллохимия, рентгеноструктурный анализ

409

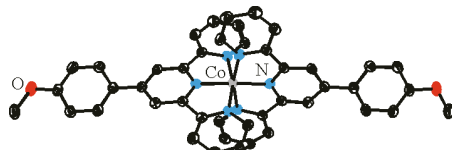


Fu W.-W., Shu X., Luo Y.-L., Tang Z.-Q., Li Q., Liu H.-J., Cheng Q.-W., Wang H.-Y., Liu Y.

**New Co(II) and Mn(II) complexes with 4'-substituted 2,2':6',2"-terpyridine ligands**

**Keywords:** Co(II) complex, Mn(II) complex, 4'-(4-methoxyphenyl)-2,2':6',2"-terpyridine, 4'-(4-aminophenyl)-2,2':6',2"-terpyridine, 4'-(furan-2-yl)-2,2':6',2"-terpyridine

412



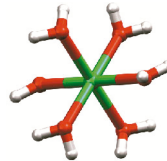
Ibragimov A.B., Englert U., Ashurov J.M., Wang A.

**Dimorphism of hexaaquanickel(II) bis(*p*-nitrobenzoate) dihydrate salt:**

**A new triclinic crystal form**

**Keywords:** polymorphism, *p*-nitrobenzoic acid, Ni(II) complex, hexaaqua cation, crystal structure, X-ray crystallography

425

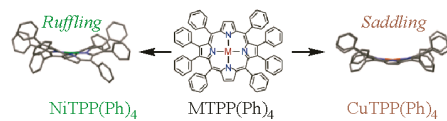


Bhyrappa P., Sankar M., Karunanithi K., Varghese B.

**Highly nonplanar macrocyclic ring conformation in the crystal structures of Ni(II) and Cu(II) octaphenylporphyrins**

**Keywords:** substituted porphyrin, octaphenylporphyrin, X-ray crystal structures, Hirshfeld surface analysis

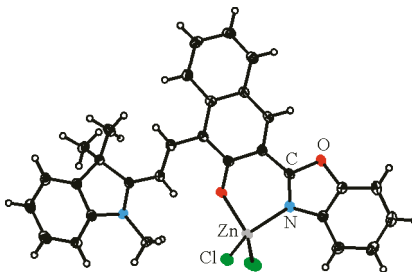
428



Ткачёв В.В., Утёнышев А.Н., Чернышев А.В., Ковальчукова О.В.

**Особенности молекулярного строения нового комплекса 3-(бензо[d]оксазол-2-ил)-1-(2-(1,3,3- trimетилиндолин-2-илиден) этилиден) нафталин-2(1Н)-она хлорида цинка**

**Ключевые слова:** рентгеноструктурное исследование, спиропироаны, 3-(бензо[d]оксазол-2-ил)-1-(2-(1,3,3- trimетилиндолин-2-илиден) этилиден) нафталин-2(1Н)-она хлорид цинка

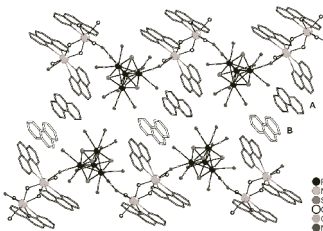


438

Литвинова Ю.М., Куратьева Н.В., Гайфулин Я.М., Миронов Ю.В.

**Строение цепочечного координационного полимера  $\{[\text{Nd}(\text{phen})_2(\text{H}_2\text{O})\text{Nd}(\text{phen})(\text{H}_2\text{O})_3(\mu\text{-OH})_2\} \times [\text{Re}_4\text{S}_4(\text{CN})_{12}]\cdot\text{phen}\cdot3.5\text{H}_2\text{O}$**

**Ключевые слова:** синтез, кластеры рения, координационный полимер, лантаниды, кристаллическая структура

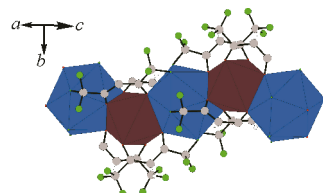


442

Уркасым кызы С., Шэнь Хуан, Мосягина С.А., Корольков И.В., Первухина Н.В., Крисюк В.В., Стабников П.А.

**Кристаллическая структура двух  $\beta$ -дикетонатов самария и их свойства**

**Ключевые слова:**  $\beta$ -дикетонаты самария, кристаллическая структура, летучесть



446

Миронова Е.В., Богданов А.В., Нугуманова Г.Н.,  
Бухаров С.В., Миронов В.Ф., Литвинов И.А.

**Особенности кристаллической и молекулярной структуры производных индолин-2-она, содержащих стерически затрудненные фенольные фрагменты**

**Ключевые слова:** изатин, индолин-2-оны, рентгеноструктурный анализ, кристаллическая и молекулярная структура, стерически загруженные фенолы, межмолекулярные взаимодействия

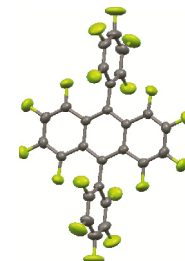


451

Гатилов Ю.В., Меженкова Т.В., Карпов В.М.

**Рентгеноструктурное исследование перфтор-9,10-дифенилантрацена и перфтор-9,10-дифенилдигидроантраценов**

**Ключевые слова:** перфтор-9,10-дифенилантрацен, перфтор-9,10-дифенилдигидроантрацен, рентгеноструктурный анализ, межмолекулярные взаимодействия, квантово-химические расчеты, супрамолекулярная архитектура



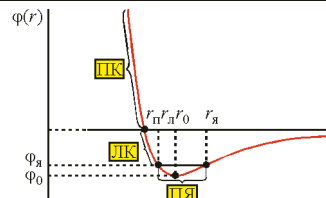
461

**СУПРАМОЛЕКУЛЯРНЫЕ СОЕДИНЕНИЯ И НАНОРАЗМЕРНЫЕ СИСТЕМЫ**

Малеев А.В., Геворгян А.А., Потехин К.А.

**Новый подход к анализу молекулярных упаковок в кристаллах с использованием атом-атомных потенциалов**

**Ключевые слова:** молекулярные кристаллы, молекулярные агломераты, атом-атомные потенциалы, потенциальная яма



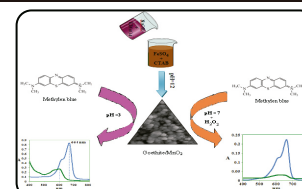
467

Sabbaghan M., Adhami F., Aminnezhad M.

**Mesoporous jarosite/MnO<sub>2</sub> and goethite/MnO<sub>2</sub> nanocomposites:**

**Synthesis and application for oxidation of methylene blue**

**Keywords:** MnO<sub>2</sub>, jarosite, goethite, Fenton-like catalyst, methylene blue

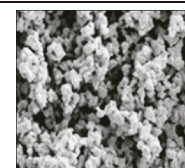


476

Aribi K., Ghelamallah M., Bellifa A., Granger P., Choukchou-Braham A.

**Structural and textural modifications of ZrO<sub>2</sub> induced by La<sub>2</sub>O<sub>3</sub> addition, thermal treatment and reducing process**

**Keywords:** ZrO<sub>2</sub>, La<sub>2</sub>O<sub>3</sub>, surface, structure, TPRH<sub>2</sub>, pyrochlore oxide

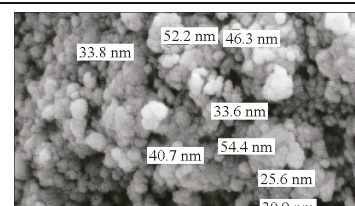


486

Fardood S. Taghavi, Ramazani A., Joo S.W.

**Green chemistry approach for the synthesis of copper oxide nanoparticles using tragacanth gel and their structural characterization**

**Keywords:** tragacanth gel, copper oxide nanoparticles, nanobiotechnology, natural hydrogel, sol-gel

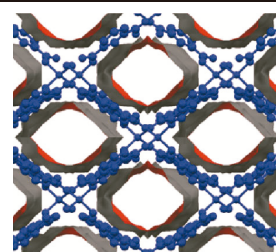


494

Сапьяник А.А., Семененко Е.Э., Самсоненко Д.Г.,  
Дыбцев Д.Н., Федин В.П.

**Кристаллическая структура координационных полимеров, полученных на основе гетерометаллического карбоксилатного комплекса**

**Ключевые слова:** литий, цинк, координационные полимеры, металло-органические каркасы, полиядерные комплексы, карбоксилатные комплексы, рентгеноструктурный анализ



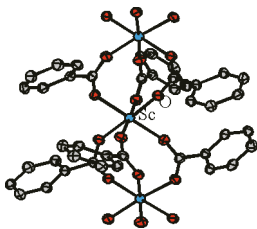
499

Чеплакова А.М., Федосеев И.С., Дороватовский П.В.,  
Лазаренко В.А., Зубавичус Я.В., Хрусталев В.Н., Федин В.П.

505

**Кристаллическая структура трис-(2,3,5,6-тетрафторбензоата)скандия  $[\text{Sc}(\text{C}_6\text{F}_4\text{HCO}_2)_3]$**

**Ключевые слова:** комплексы скандия, координационный полимер, тетрафтортерефталевая кислота, тетрафторбензойная кислота, кристаллическая структура



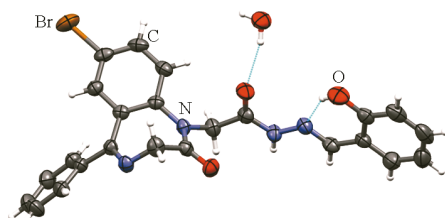
## СТРУКТУРА БИОЛОГИЧЕСКИ АКТИВНЫХ СИСТЕМ

Пуля А.В., Сейфуллина И.И., Скороход Л.С.,  
Павловский В.И., Кравцов В.Х., Богза С.Л., Суйков С.Ю.

509

**Молекулярная и кристаллическая структура продукта конденсации 2-(7-брому-2-оксо-5-фенил-3Н-1,4-бенздиазепин-1-ил)ацетогидразида (гидазепама) с салициловым альдегидом**

**Ключевые слова:** синтез, 2-(7-брому-2-оксо-5-фенил-3Н-1,4-бенздиазепин-1-ил)ацетогидразид, гидазепам, гидразон, салициловый альдегид, молекулярная структура, рентгеноструктурный анализ



**Содержание следующего номера — в конце журнала**